



UNIVERSITÄTS-
BIBLIOTHEK
PADERBORN

Die Statik im Stahlbetonbau

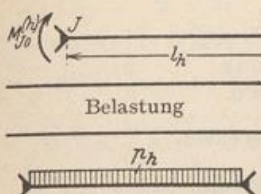
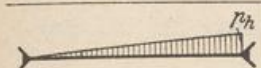
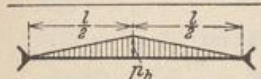
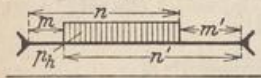
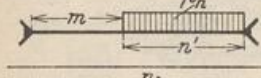
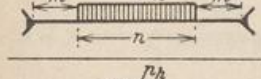
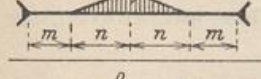
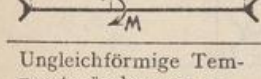
Beyer, Kurt

Berlin [u.a.], 1956

Tabellen für die Randmomente des beiderseits und des einseitig eingespannten Stabes mit konstantem Trägheitsmoment

[urn:nbn:de:hbz:466:1-74292](#)

Tabelle 25. Randmomente des beiderseits eingespannten Stabes mit konstantem Trägheitsmoment.

Belastung	$M_{J0}^{(b)}$	$M_{K0}^{(b)}$
	$-\frac{p_h l_h^2}{12}$	$+\frac{p_h l_h^2}{12}$
	$-\frac{p_h l_h^2}{30}$	$+\frac{p_h l_h^2}{20}$
	$-\frac{5}{96} p_h l_h^2$	$+\frac{5}{96} p_h l_h^2$
	$-\frac{p_h l_h^2}{12} [6(\nu^2 - \mu^2) - 8(\nu^3 - \mu^3) + 3(\nu^4 - \mu^4)]$	$+\frac{p_h l_h^2}{12} [6(\nu'^2 - \mu'^2) - 8(\nu'^3 - \mu'^3) + 3(\nu'^4 - \mu'^4)]$
	$-\frac{p_h l_h^2}{12} \nu'^3 (1 + 3\mu)$	$+\frac{p_h l_h^2}{12} \nu'^2 [1 + \mu (2 + 3\mu)]$
	$-\frac{p_h l_h^2}{12} \nu [\nu^2 + 6\mu (1 - \mu)]$	$+\frac{p_h l_h^2}{12} \nu [\nu^2 + 6\mu (1 - \mu)]$
	$-\frac{p_h l_h^2}{12} \nu [5\nu^2 + 6\mu (1 - \mu)]$	$+\frac{p_h l_h^2}{12} \nu [5\nu^2 + 6\mu (1 - \mu)]$
	$-P l_h \omega'_r$	$+P l_h \omega_r$
	$+M \xi' (2 - 3\xi')$	$+M \xi (2 - 3\xi)$
Ungleichförmige Temperaturänderung um $t_u - t_o = \Delta t$	$-E J_h \frac{\alpha_i \Delta t}{h_h}$	$+E J_h \frac{\alpha_i \Delta t}{h_h}$

Die Anwendung der Theorie zur Berechnung der Verschiebungen und Schnittkräfte wird für alle äußereren Ursachen an zwei einfachen Beispielen gezeigt.

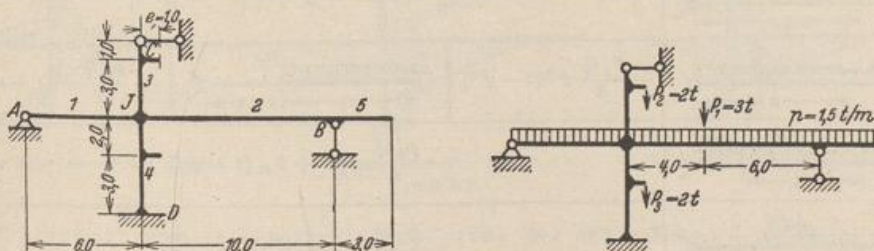


Abb. 300a und b.

Beispiel 1.

1. Bezeichnungen und Abmessungen (Abb. 300). (Allen Zahlen liegen die Einheiten t und m zugrunde).

$$J_1 = 0,006, \quad J_2 = 0,020, \quad J_3 = 0,004, \quad J_4 = 0,005 \text{ m}^4,$$

$$J_e = 0,004, \quad E J_e = 210000 \cdot 0,004 = 8400 \text{ tm}^2;$$

$$l'_1 = 4,00, \quad l'_2 = 2,00, \quad l'_3 = 4,00, \quad l'_4 = 4,00 \text{ m},$$

$$\text{Trägerhöhe: } h_1 = 0,6, \quad h_2 = 0,85 \text{ m}.$$

Die Verschiebungen v, u werden positiv bezeichnet, wenn sie nach unten oder nach rechts gerichtet sind.

Abszissen ξ sind nach rechts und abwärts,

Abszissen ξ' nach links und aufwärts positiv.

2. Überzählige Größe und statische Bedingungsgleichung.

Überzählige Größe: φ_J ; Statische Bedingung: $a_{JJ} \varphi_J + a_{J0} = 0$.

$$\varphi_J = -\frac{a_{J0}}{a_{JJ}}; \quad a_{JJ} = -i \left(\frac{3}{l_1} + \frac{3}{l_2} + \frac{3}{l_3} + \frac{4}{l_4} \right) = -4,000.$$

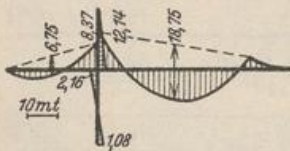
3. Belastung der Stäbe 1, 2, 5 durch $p = 1,5 \text{ t/m}$ (Abb. 301a).

$$M_{J0}^{(1)} = +\frac{p l_1^2}{8} = +6,750; \quad M_{J0}^{(2)} = -\frac{p l_2^2}{8} + \frac{1}{2} \frac{p l_3^2}{2} = -15,375 \text{ mt.}$$

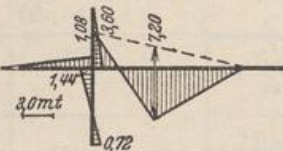
$$a_{J0} = -i (M_{J0}^{(1)} + M_{J0}^{(2)}) = +8,625, \quad \varphi_J = +2,156.$$

$$M_J^{(1)} = M_{J0}^{(1)} + \frac{3}{l_1} \varphi_J = +8,367, \quad M_J^{(2)} = M_{J0}^{(2)} + \frac{3}{l_2} \varphi_J = -12,141 \text{ mt}$$

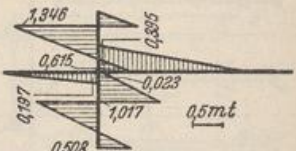
$$M_J^{(3)} = \frac{3}{l_3} \varphi_J = +1,617, \quad M_J^{(4)} = \frac{4}{l_4} \varphi_J = +2,156, \quad M_D^{(4)} = \frac{2}{l_4} \varphi_J = +1,078 \text{ mt.}$$



a) Biegungsmomente infolge p .



b) Biegungsmomente infolge P_1 .



c) Biegungsmomente infolge $P_1 = P_2$.

Abb. 301.

Tabelle 26. Randmoment des einseitig eingespannten Stabes mit konstantem Trägheitsmoment.

$M_{J0}^{(1)}$	$\frac{n}{l_g} = \mu; \quad \frac{n}{l_g} = v; \quad \frac{m'}{l_g} = \mu'; \quad \frac{n'}{l_g} = v'; \quad x/l_g = \xi; \quad x'/l_g = \xi'$
	$-\frac{p_g l_g^3}{8}$
	$-\frac{7}{120} p_g l_g^3$
	$-\frac{p_g l_g^3}{8} [2(v'^2 - \mu'^2) - (v'^4 - \mu'^4)]$
	$-\frac{p_g l_g^3}{8} v'^2 (2 - v'^2)$
	$-\frac{p_g l_g^3}{8} v [v^2 + 6\mu(1 - \mu)]$
	$-\frac{p_g l_g^3}{8} v [5v^2 + 6\mu(1 - \mu)]$
	$-\frac{P l_g}{2} \omega'_D$
Ungleichförmige Temperaturänderung um $t_u - t_o = \Delta t$	
	$-\frac{3}{2} E J_g \frac{\alpha_t \Delta t}{h_g} \omega'_M$

4. Belastung des Stabes 2 durch $P_1 = 3 \text{ t}$ (Abb. 301 b).

$$M_{J0}^{(2)} = -\frac{P_1 l_2}{2} \omega'_D = -\frac{3,0 \cdot 10,0}{2} \cdot 0,384 = -5,760 \text{ mt}.$$

$$\alpha_{J0} = -i \cdot M_{J0}^{(2)} = +5,760; \quad \varphi_J = +1,440.$$

$$M_J^{(1)} = \frac{3}{l'_1} \varphi_J = +1,080, \quad M_J^{(2)} = M_{J0}^{(2)} + \frac{3}{l'_2} \varphi_J = -3,600 \text{ mt}.$$

$$M_J^{(3)} = \frac{3}{l'_3} \varphi_J = +1,080, \quad M_J^{(4)} = \frac{4}{l'_4} \varphi_J = +1,440, \quad M_D^{(4)} = \frac{2}{l'_4} \varphi_J = +0,720 \text{ mt}.$$

5. Belastung der Stäbe 3 und 4 durch $P_2 = P_3 = 2 \text{ t}$ (Abb. 301 c).

$$M_{J0}^{(3)} = -\frac{P_2 e}{2} (3 \xi^2 - 1) = -\frac{2,0 \cdot 1,0}{2} (3 \cdot 0,25^2 - 1) = +0,812 \text{ mt}.$$

$$M_{J0}^{(4)} = P_3 e \xi' (2 - 3 \xi') = 2,0 \cdot 1,0 \cdot 0,6 (2 - 3 \cdot 0,6) = +0,240,$$

$$M_{D0}^{(4)} = P_3 e \xi (2 - 3 \xi) = +0,640.$$

$$\alpha_{J0} = -i (M_{J0}^{(3)} + M_{J0}^{(4)}) = -1,052; \quad \varphi_J = -0,263.$$

$$M_J^{(1)} = \frac{3}{l'_1} \varphi_J = -0,197, \quad M_J^{(2)} = \frac{3}{l'_2} \varphi_J = -0,395 \text{ mt}, \quad M_J^{(3)} = M_{J0}^{(3)} + \frac{3}{l'_3} \varphi_J = +0,615,$$

$$M_J^{(4)} = M_{J0}^{(4)} + \frac{4}{l'_4} \varphi_J = -0,023 \text{ mt}, \quad M_D^{(4)} = M_{D0}^{(4)} + \frac{2}{l'_4} \varphi_J = +0,508.$$

6. Temperaturerhöhung aller Stäbe um $t = 15^\circ$ (Abb. 302 a).

$$\alpha_t t = 0,00015, \quad \alpha_t t E J_e = 1,26,$$

$$\theta_{1t} = -E J_e \frac{\alpha_t t l_1}{l_1} = -1,050, \quad \theta_{2t} = +E J_e \frac{\alpha_t t l_2}{l_2} = +0,630,$$

$$\theta_{3t} = -E J_e \frac{\alpha_t t l_3}{l_3} = -1,890, \quad \theta_{4t} = +E J_e \frac{\alpha_t t l_4}{l_4} = +1,512,$$

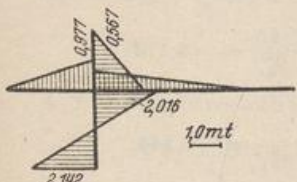
$$\alpha_J = -i \left(-\frac{3}{l'_1} \theta_{1t} - \frac{3}{l'_2} \theta_{2t} - \frac{3}{l'_3} \theta_{3t} - \frac{6}{l'_4} \theta_{4t} \right) = +1,008.$$

$$\varphi_J = +0,252,$$

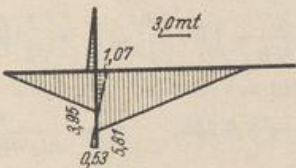
$$M_J^{(1)} = \frac{3}{l'_1} (\varphi_J - \theta_{1t}) = +0,977, \quad M_J^{(2)} = \frac{3}{l'_2} (\varphi_J - \theta_{2t}) = -0,567 \text{ mt},$$

$$M_J^{(3)} = \frac{3}{l'_3} (\varphi_J - \theta_{3t}) = +1,606, \quad M_J^{(4)} = \frac{2}{l'_4} (2 \varphi_J - 3 \theta_{4t}) = -2,016,$$

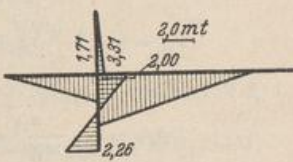
$$M_D^{(4)} = \frac{2}{l'_4} (\varphi_J - 3 \theta_{4t}) = -2,142.$$



a) Biegungsmomente infolge t .



b) Biegungsmomente infolge $A t$.



c) Biegungsmomente infolge $A x_d, A y_d$.

Abb. 302.

7. Ungleichförmige Temperatur-Änderung der Stäbe 1 und 2 um $\Delta t = -10^\circ$.

$$M_{JAt}^{(1)} = \frac{3}{2} E J_1 \frac{\alpha_t \Delta t}{h_1} = -3,150, \quad M_{JAt}^{(2)} = -\frac{3}{2} E J_2 \frac{\alpha_t \Delta t}{h_2} = +7,413 \text{ mt},$$

$$\alpha_{JAt} = -i (M_{JAt}^{(1)} + M_{JAt}^{(2)}) = -4,263; \quad \varphi_J = -1,066.$$

$$M_J^{(1)} = M_{JAt}^{(1)} + \frac{3}{l'_1} \varphi_J = -3,949, \quad M_J^{(2)} = M_{JAt}^{(2)} + \frac{3}{l'_2} \varphi_J = +5,814 \text{ mt},$$

$$M_J^{(3)} = \frac{3}{l'_3} \varphi_J = -0,799, \quad M_J^{(4)} = \frac{4}{l'_4} \varphi_J = -1,066, \quad M_D^{(4)} = \frac{2}{l'_4} \varphi_J = -0,533 \quad (\text{Abb. 302b}).$$

8. Verschiebung des Stützpunktes D um $\Delta x_d = -0,001 \text{ m}$ und $\Delta y_d = +0,002 \text{ m}$.

$$\theta_{1s} = + E J_e \frac{\Delta y_d}{l_1} = + 2,800, \quad \theta_{2s} = - E J_e \frac{\Delta y_d}{l_2} = - 1,680,$$

$$\theta_{4s} = - E J_e \frac{\Delta x_d}{l_4} = + 1,680.$$

$$a_{Jg} = - i \left(-\frac{3}{l'_1} \theta_{1s} - \frac{3}{l'_2} \theta_{2s} - \frac{6}{l'_4} \theta_{4s} \right) = + 2,100; \quad \varphi_J = + 0,525.$$

$$M_{Jg}^{(1)} = \frac{3}{l'_1} (\varphi_J - \theta_{1s}) = - 1,706, \quad M_{Jg}^{(2)} = \frac{3}{l'_2} (\varphi_J - \theta_{2s}) = + 3,308 \text{ mt},$$

$$M_{Jg}^{(3)} = \frac{3}{l'_3} \varphi_J = + 0,394, \quad M_{Jg}^{(4)} = \frac{2}{l'_4} (2 \varphi_J - 3 \theta_{4s}) = - 1,995,$$

$$M_D^{(4)} = \frac{2}{l'_4} (\varphi_J - 3 \theta_{4s}) = - 2,258 \quad (\text{Abb. 302 c}).$$

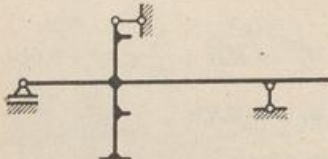


Abb. 303.

Beispiel 2.

1. Bezeichnungen und Abmessungen: Das System (Abb. 303) unterscheidet sich von dem vorhergehenden nur durch ein bewegliches Lager A . Die Abmessungen und Belastungen sind unverändert.

2. Überzählige Größen: $\varphi_J, \psi_1 = \theta_4$.

Statische Bedingungen: $a_{JJ} \varphi_J + a_{J1} \psi_1 + a_{J0} = 0$,

$a_{1J} \varphi_J + a_{11} \psi_1 + a_{10} = 0$.

Zustand $\varphi_J = 1$:

$$M_{JJ}^{(1)} = \frac{3}{l'_1}, \quad M_{JJ}^{(2)} = \frac{3}{l'_2}, \quad M_{JJ}^{(3)} = \frac{3}{l'_3}, \quad M_{JJ}^{(4)} = \frac{4}{l'_4}, \quad M_{Dg}^{(4)} = \frac{2}{l'_4}.$$

Zustand $\psi_1 = 1$:

$$\theta_{11} = 0, \quad \theta_{21} = 0, \quad \theta_{31} = -\frac{l_4}{l_3}, \quad \theta_{41} = 1;$$

$$M_{J1}^{(1)} = M_{J1}^{(2)} = 0, \quad M_{J1}^{(3)} = \frac{3}{l'_3} \frac{l_4}{l_3}, \quad M_{J1}^{(4)} = M_{D1}^{(4)} = -\frac{6}{l'_4}.$$

Vorzahlen der Bedingungsgleichungen:

$$a_{JJ} = - i \left(\frac{3}{l'_1} + \frac{3}{l'_2} + \frac{3}{l'_3} + \frac{4}{l'_4} \right) = - 4,000,$$

$$a_{J1} = - i \left(+ \frac{3}{l'_3} \frac{l_4}{l_3} - \frac{6}{l'_4} \right) = + 0,562,$$

$$a_{11} = \left(- i \frac{l_4}{l_3} \right) \left(+ \frac{3}{l'_3} \frac{l_4}{l_3} \right) + i \left(- \frac{12}{l'_4} \right) = - 3 \left(\frac{1}{l'_3} \frac{l_4^2}{l_3^2} + \frac{4}{l'_4} \right) = - 4,172.$$

β -Vorzahlen:

$$\beta_{JJ} = \frac{a_{11}}{a_{JJ} a_{11} - a_{J1}^2} = - 0,255, \quad \beta_{11} = \frac{a_{JJ}}{a_{JJ} a_{11} - a_{J1}^2} = - 0,244$$

$$\beta_{J1} = - \frac{a_{J1}}{a_{JJ} a_{11} - a_{J1}^2} = - 0,034;$$

$$-\varphi_J = a_{J0} \beta_{JJ} + a_{10} \beta_{J1}, \quad -\psi_1 = a_{J0} \beta_{1J} + a_{10} \beta_{11}.$$

3. Belastung der Stäbe 1, 2, 5 durch $p = 1,5 \text{ t/m}$ (Abb. 304a).

$$M_{J0}^{(1)} = + 6,750, \quad M_{J0}^{(2)} = - 15,375 \text{ mt}.$$

$$a_{J0} = - i (M_{J0}^{(1)} + M_{J0}^{(2)}) = + 8,625, \quad a_{10} = 0,$$

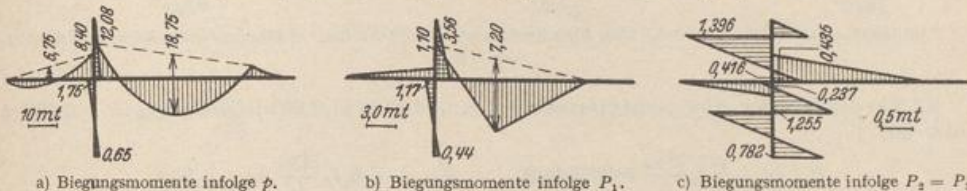
$$-\varphi_J = a_{J0} \beta_{JJ} = - 2,199, \quad -\psi_1 = a_{J0} \beta_{1J} = - 0,297.$$

$$\theta_1 = \theta_2 = 0, \quad \theta_3 = -\frac{l_4}{l_3} \psi_1 = - 0,371, \quad \theta_4 = + 0,297.$$

$$\begin{aligned} M_J^{(1)} &= M_{J_0}^{(1)} + \frac{3}{l'_1} \varphi_J = +8,399, & M_J^{(2)} &= M_{J_0}^{(2)} + \frac{3}{l'_2} \varphi_J = -12,076, \\ M_J^{(3)} &= \frac{3}{l'_3} (\varphi_J - \vartheta_3) = +1,928, & M_J^{(4)} &= \frac{2}{l'_4} (2\varphi_J - 3\vartheta_4) = +1,754, \\ M_D^{(4)} &= \frac{2}{l'_4} (\varphi_J - 3\vartheta_4) = +0,654 \text{ mt}. \end{aligned}$$

4. Belastung des Stabes 2 durch $P_1 = 3 \text{ t}$ (Abb. 304 b).

$$\begin{aligned} M_{J_0}^{(2)} &= -5,760, & a_{J_0} &= -i M_{J_0}^{(2)} = +5,76, & a_{10} &= 0, \\ \varphi_J &= +1,469, & \psi_1 &= +0,198, & \vartheta_1 &= \vartheta_2 = 0, & \vartheta_3 &= -0,247, & \vartheta_4 &= +0,198. \\ M_J^{(1)} &= \frac{3}{l'_1} (\varphi_J - \vartheta_1) = +1,102, & M_J^{(2)} &= M_{J_0}^{(2)} + \frac{3}{l'_2} \varphi_J = -3,557 \text{ mt}, \\ M_J^{(3)} &= +1,287, & M_J^{(4)} &= +1,172, & M_D^{(4)} &= +0,438. \end{aligned}$$



a) Biegungsmomente infolge p .

b) Biegungsmomente infolge P_1 .

c) Biegungsmomente infolge $P_2 = P_3$.

Abb. 304.

5. Belastung der Stäbe 3 und 4 durch $P_2 = P_3 = 2 \text{ t}$ (Abb. 304 c).

$$\begin{aligned} M_{J_0}^{(3)} &= +0,812, & M_{J_0}^{(4)} &= +0,240, & M_{D_0}^{(4)} &= +0,640 \text{ mt}, \\ a_{J_0} &= -i (M_{J_0}^{(3)} + M_{J_0}^{(4)}) = -1,052, \\ a_{10} &= -i \frac{l_4}{l_3} (M_{J_0}^{(3)} + M_{3,1}) + i (M_{J_0}^{(4)} + M_{D_0}^{(4)} + M_{4,1}) \\ &= -i \frac{4,00}{5,00} (0,812 + 2,0 \cdot 1,0) + 1 (0,240 + 0,640 + 2,0 \cdot 1,0) = -0,636. \\ -\varphi_J &= a_{J_0} \beta_{J,J} + a_{10} \beta_{J,1} = +0,290, & -\psi_1 &= a_{J_0} \beta_{1,J} + a_{10} \beta_{1,1} = +0,191, \\ \vartheta_1 &= \vartheta_2 = 0, & \vartheta_3 &= -\frac{l_4}{l_3} \psi_1 = +0,239, & \vartheta_4 &= -0,191, \\ M_J^{(1)} &= \frac{3}{l'_1} \varphi_J = -0,218, & M_J^{(2)} &= \frac{3}{l'_2} \varphi_J = -0,435, \\ M_J^{(3)} &= M_{J_0}^{(3)} + \frac{3}{l'_3} (\varphi_J - \vartheta_3) = +0,416, & M_J^{(4)} &= M_{J_0}^{(4)} + \frac{2}{l'_4} (2\varphi_J - 3\vartheta_4) = +0,237, \\ M_D^{(4)} &= M_{D_0}^{(4)} + \frac{2}{l'_4} (\varphi_J - 3\vartheta_4) = +0,782 \text{ mt}. \end{aligned}$$

6. Temperaturerhöhung aller Stäbe um $t = 15^\circ$ (Abb. 305 a).

$$\begin{aligned} \vartheta_{1,t} &= -E J_c \frac{\alpha_t t l_4}{l_1} = -1,050, & \vartheta_{2,t} &= +E J_c \frac{\alpha_t t l_4}{l_2} = +0,630, & \vartheta_{3,t} &= \vartheta_{4,t} = 0, \\ a_{J,t} &= -i \left(-\frac{3}{l'_1} \vartheta_{1,t} - \frac{3}{l'_2} \vartheta_{2,t} \right) = +0,158, & a_{1,t} &= 0, \\ \varphi_J &= 0,040, & \psi_1 &= 0,005. \\ \vartheta_1 &= -1,050, & \vartheta_2 &= +0,630, & \vartheta_3 &= -\frac{l_4}{l_3} \psi_1 = -0,007, & \vartheta_4 &= +0,005. \\ M_J^{(1)} &= \frac{3}{l'_1} (\varphi_J - \vartheta_1) = +0,818, & M_J^{(2)} &= \frac{3}{l'_2} (\varphi_J - \vartheta_2) = -0,885 \text{ mt}, \\ M_J^{(3)} &= \frac{3}{l'_3} (\varphi_J - \vartheta_3) = +0,035, & M_J^{(4)} &= \frac{2}{l'_4} (2\varphi_J - 3\vartheta_4) = +0,032, \\ M_D^{(4)} &= \frac{2}{l'_4} (\varphi_J - 3\vartheta_4) = +0,012 \text{ mt}. \end{aligned}$$

7. Ungleichförmige Temperaturänderung der Stäbe 1 und 2 um $\Delta t = -10^\circ$.

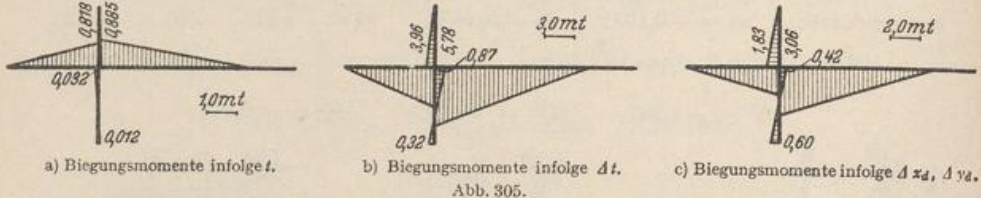
$$M_{J\Delta t}^{(1)} = -3,150, \quad M_{J\Delta t}^{(2)} = +7,413 \text{ mt}, \\ a_{J\Delta t} = -1 (M_{J\Delta t}^{(1)} + M_{J\Delta t}^{(2)}) = -4,263, \quad a_{1\Delta t} = 0;$$

$$\varphi_J = -1,086, \quad \psi_1 = -0,146.$$

$$\theta_1 = \theta_2 = 0, \quad \theta_3 = +0,183, \quad \theta_4 = -0,146,$$

$$M_J^{(1)} = -3,965, \quad M_J^{(2)} = +5,784, \quad M_J^{(3)} = -0,952,$$

$$M_J^{(4)} = -0,867, \quad M_D^{(4)} = -0,324 \text{ mt} \quad (\text{Abb. 305 b}).$$



a) Biegunsmomente infolge t .

b) Biegunsmomente infolge Δt .

c) Biegunsmomente infolge Δx_d , Δy_d .

Abb. 305.

8. Verschiebung des Stützpunktes d um $\Delta x_d = -0,001 \text{ m}$ und $\Delta y_d = +0,002 \text{ m}$ (Abb. 305 c).

$$\theta_{1s} = +E J_e \frac{\Delta y_d}{l_1} = +2,800, \quad \theta_{2s} = -E J_e \frac{\Delta y_d}{l_2} = -1,680,$$

$$\theta_{4s} = -E J_e \frac{\Delta x_d}{l_4} = +1,680,$$

$$a_{Js} = -i \left(-\frac{3}{l'_1} \theta_{1s} - \frac{3}{l'_2} \theta_{2s} - \frac{6}{l'_4} \theta_{4s} \right) = +2,100, \quad a_{1s} = i \left(-\frac{12}{l'_4} \theta_{4s} \right) = -5,040,$$

$$\varphi_J = +0,362, \quad \psi_1 = -1,160.$$

$$\theta_1 = \theta_{1s} = +2,800, \quad \theta_2 = \theta_{2s} = -1,680, \quad \theta_3 = \theta_{31} \psi_1 = +1,450, \\ \theta_4 = \theta_{4s} + \theta_{41} \psi_1 = +0,520,$$

$$M_J^{(1)} = -1,828, \quad M_J^{(2)} = +3,063, \quad M_J^{(3)} = -0,816 \text{ mt},$$

$$M_J^{(4)} = -0,418, \quad M_D^{(4)} = -0,599.$$

Durchgehender Träger mit elastisch drehbaren Stützen. $\psi_c = 0$.

1. Geometrische Größen (alle Zahlen mit den Einheiten m und t), Abb. 306:

Trägheitsmoment der Riegel: $J_r = 0,120 \text{ m}^4$; Trägheitsmoment der Pfosten: $J_s = 0,240 \text{ m}^4$; $J_e = J_r = 0,120$; $l'_1 = 14,0$; $l'_3 = l'_5 = l'_7 = 12,5$; $l'_9 = 8,325$; $l'_2 = l'_4 = l'_6 = l'_8 = 5,5$.

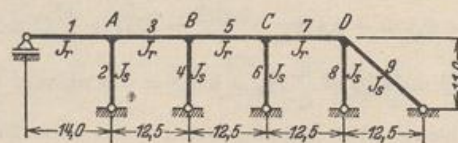


Abb. 306.

2. Überzählige Größen und statische Bedingungsgleichungen. Überzählige: $\varphi_A, \varphi_B, \varphi_C, \varphi_D$.

Matrix der statischen Bedingungen:

	φ_A	φ_B	φ_C	φ_D	
A	a_{AA}	a_{AB}	.	.	a_{A0}
B	a_{BA}	a_{BB}	a_{BC}	.	a_{B0}
C	.	a_{BC}	a_{CC}	a_{CD}	a_{C0}
D	.	.	a_{CD}	a_{DD}	a_{D0}

$a_{AA} = -i \left(\frac{3}{l'_1} + \frac{3}{l'_2} + \frac{4}{l'_3} \right) = -1,079712,$
 $a_{AB} = a_{BC} = a_{CD} = -i \frac{2}{l'_3} = -0,160000,$
 $a_{BB} = a_{CC} = -i \left(\frac{4}{l'_3} + \frac{3}{l'_4} + \frac{4}{l'_5} \right) = -1,185454,$
 $a_{DD} = -i \left(\frac{4}{l'_7} + \frac{3}{l'_8} + \frac{3}{l'_9} \right) = -1,225814.$

	φ_A	φ_B	φ_C	φ_D
A	- 1,079712	- 0,160000		
B	- 0,160000	- 1,185454	- 0,160000	
C		- 0,160000	- 1,185454	- 0,160000
D			- 0,160000	- 1,225814

3. Auflösung durch Entwicklung von β_{44} und β_{11} nach einem Kettenbruch:

$$\kappa_{AB} = \frac{a_{BA}}{a_{AA}} = + 0,148188; \quad a_{BB}^{(1)} = a_{BB} - a_{AB}\kappa_{AB} = - 1,161744,$$

$$\kappa_{BC} = \frac{a_{CB}}{a_{BB}^{(1)}} = + 0,137724; \quad a_{CC}^{(2)} = a_{CC} - a_{BC}\kappa_{BC} = - 1,163418,$$

$$\kappa_{CD} = \frac{a_{DC}}{a_{CC}^{(2)}} = + 0,137526; \quad a_{DD}^{(3)} = a_{DD} - a_{CD}\kappa_{CD} = - 1,203810,$$

$$\beta_{DD} = \frac{1}{a_{DD}^{(3)}} = - 0,830696,$$

$$\kappa_{DC} = \frac{a_{CD}}{a_{DD}^{(3)}} = + 0,130526; \quad a_{CC}^{(1)} = a_{CC} - a_{DC}\kappa_{DC} = - 1,164570,$$

$$\kappa_{CB} = \frac{a_{BC}}{a_{CC}^{(1)}} = + 0,137390; \quad a_{BB}^{(2)} = a_{BB} - a_{CB}\kappa_{CB} = - 1,163472,$$

$$\kappa_{BA} = \frac{a_{AB}}{a_{BB}^{(2)}} = + 0,137519; \quad a_{AA}^{(3)} = a_{AA} - a_{BA}\kappa_{BA} = - 1,057709,$$

$$\beta_{AA} = \frac{1}{a_{AA}^{(3)}} = - 0,945440.$$

Vorzahlen β_{jk}

$\longrightarrow - 0,137519 \quad - 0,137390 \quad - 0,130526 \longrightarrow$

	a_{A0}	a_{B0}	a_{C0}	a_{D0}	
φ_A	- 0,945440	+ 0,130016	- 0,017863	+ 0,002332	
φ_B	+ 0,130016	- 0,877371	+ 0,120542	- 0,015734	
φ_C	- 0,017863	+ 0,120542	- 0,875243	+ 0,114242	
φ_D	+ 0,002332	- 0,015734	+ 0,114242	- 0,830696	

$$\varphi_J = - \sum \beta_{jk} a_{k0}$$

4. Belastung durch Eigengewicht $g = 2,0 \text{ t/m}$ (Abb. 307a).

$$M_{A0}^{(1)} = + \frac{g l_1^2}{8} = + 49,0000, \quad M_{A0}^{(3)} = - \frac{g l_3^2}{12} = - 26,0417 \text{ mt},$$

$$M_{B0}^{(3)} = - M_{B0}^{(5)} = M_{C0}^{(5)} = - M_{C0}^{(7)} = M_{D0}^{(7)} = + 26,0417.$$

$$a_{A0} = - i(M_{A0}^{(1)} + M_{A0}^{(3)}) = - 22,9583; \quad a_{B0} = - i(M_{B0}^{(3)} + M_{B0}^{(5)}) = 0,$$

$$a_{C0} = 0; \quad a_{D0} = - 26,0417.$$

$$\varphi_A = - 21,645, \quad \varphi_B = + 2,575, \quad \varphi_C = + 2,565, \quad \varphi_D = - 21,579$$

$- 0,148188$
 $- 0,137724$
 $- 0,137526$

$$\begin{aligned}
 M_A^{(1)} &= M_{A0}^{(1)} + \frac{3}{l_1} \varphi_A = + 44,362; & M_A^{(2)} &= \frac{3}{l_2} \varphi_A = - 11,806. \\
 M_A^{(3)} &= M_{A0}^{(3)} + \frac{2}{l_3} (2\varphi_A + \varphi_B) = - 32,556; & M_B^{(4)} &= \frac{3}{l_4} \varphi_B = + 1,405. \\
 M_B^{(5)} &= M_{B0}^{(5)} + \frac{2}{l_5} (2\varphi_B + \varphi_A) = + 23,403; & M_C^{(6)} &= \frac{3}{l_6} \varphi_C = + 1,399. \\
 M_B^{(6)} &= M_{B0}^{(6)} + \frac{2}{l_6} (2\varphi_B + \varphi_C) = - 24,808; & M_D^{(8)} &= \frac{3}{l_8} \varphi_D = - 11,770. \\
 M_C^{(5)} &= M_{C0}^{(5)} + \frac{2}{l_5} (2\varphi_C + \varphi_B) = + 27,275; & M_D^{(9)} &= \frac{3}{l_9} \varphi_D = - 7,776. \\
 M_C^{(7)} &= M_{C0}^{(7)} + \frac{2}{l_7} (2\varphi_C + \varphi_D) = - 28,674. \\
 M_D^{(7)} &= M_{D0}^{(7)} + \frac{2}{l_7} (2\varphi_D + \varphi_C) = + 19,547 \text{ mt}.
 \end{aligned}$$

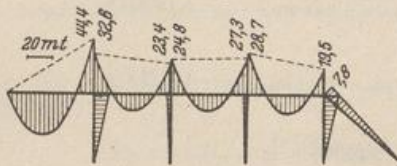
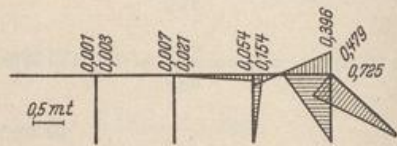
a) Biegungsmomente infolge $g = 2 \text{ t/m}$.

Abb. 307.

5. Belastung durch eine waagerechte Kraft W in 1,6 m Höhe über dem Knoten D (Abb. 307 b).

$$\begin{aligned}
 M_D &= 1,6 W & a_{D0} &= 1,6 W \\
 \varphi_A &= -0,003731 W & \varphi_C &= -0,182787 W \\
 \varphi_B &= +0,025174 W & \varphi_D &= +1,329114 W \\
 M_A^{(1)} &= -0,000799 W & M_C^{(5)} &= -0,054464 W \\
 M_A^{(2)} &= -0,002035 W & M_C^{(6)} &= -0,099702 W \\
 M_A^{(3)} &= +0,002833 W & M_C^{(7)} &= +0,154166 W \\
 M_B^{(5)} &= +0,007459 W & M_D^{(7)} &= +0,396071 W \\
 M_B^{(4)} &= +0,013731 W & M_D^{(8)} &= +0,724971 W \\
 M_B^{(5)} &= -0,021190 W & M_D^{(9)} &= +0,478960 W \text{ mt}.
 \end{aligned}$$

40. Die Auflösung des Ansatzes.

Geometrisch bestimmtes Hauptsystem. Die $(r + f)$ linearen Gleichungen des Ansatzes $\delta A_J = 0, \delta A_c = 0$ werden mit dem Gaußschen Algorithmus (Abschnitt 29) aufgelöst. Die Rechnung ist formal einfach, aber bei einer größeren Anzahl von Unbekannten zeitraubend und durch ungünstige Fehlerfortpflanzung unter Umständen schwierig. Die Wurzeln des Ansatzes werden daher bei einzelnen Belastungsfällen oft schneller und zuverlässiger durch Iteration bestimmt (Abschnitt 30).

Um die Unbekannten auch bei zahlreichen Belastungsfällen in einfacher Weise anzugeben oder Einflußlinien der unbekannten Verschiebungen und Anschlußkräfte aufzuzeichnen, werden die Vorfahren β_{JH}, β_{cb} der zu a_{JH}, a_{cb} konjugierten Matrix berechnet (Abschn. 25). Damit ist

$$\begin{aligned}
 -\varphi_J &= \sum \beta_{JH} a_{H0} + \sum \beta_{Jb} a_{b0}, & (H = 1 \dots N, \quad b = 1 \dots f), \\
 -\psi_c &= \sum \beta_{cH} a_{H0} + \sum \beta_{cb} a_{b0}, & (H = 1 \dots N, \quad b = 1 \dots f).
 \end{aligned} \quad \left. \right\} \quad (542)$$